



سچش از دور و سامانه اطلاعات جغرافیایی در منابع طبیعی (سال دهم / شماره اول) بهار ۱۳۹۸

نمایه شده در سایت: پایگاه استنادی علوم جهان اسلام، جهاد دانشگاهی، مگ ایران، نورمگر، سیویلیکا، Google Scholar

آدرس وب سایت: <http://girs.iaubushehr.ac.ir>



پیش‌بینی روند تغییرات کاربری اراضی با استفاده از مدل زنجیره مارکوف CA-Markov (مطالعه موردی: حوزه آبخیز صفارود رامسر)

ناهید صالحی^{۱*}، محمد رضا اختصاصی^۲، علی طالبی^۲

۱. دانش آموخته کارشناسی ارشد آبخیزداری، دانشکده منابع طبیعی و کویرشناسی، دانشگاه یزد
۲. استاد گروه مرتع و آبخیزداری، دانشکده منابع طبیعی و کویرشناسی، دانشگاه یزد

مشخصات مقاله

چکیده

امروزه پیش‌بینی تغییرات کاربری اراضی با استفاده از تصاویر ماهواره‌ای می‌تواند ابزار مفیدی برای کمک به برنامه‌ریزان در شرایط پیچیده باشد. هدف از این تحقیق، پایش و پیش‌بینی تغییرات کاربری اراضی در دوره ۲۸ ساله (۱۹۸۶-۲۰۱۴) با مدل زنجیره‌ای مارکوف (CA-Markov) در حوزه آبخیز صفارود-رامسر استان مازندران است. ابتدا نقشه‌های کاربری اراضی و NDVI با استفاده از تصاویر ستونه‌نامه TM (۱۹۸۶)، ETM⁺ (۲۰۰۰) و OLI (۲۰۱۴) ماهواره لندست تهیه گردید. صحت مدل زنجیره‌ای مارکوف با استفاده از شاخص کاپا ۷۷٪ برآورد گردید. بهمنظور واسنجی مدل زنجیره مارکوف، نقشه کاربری اراضی سال ۲۰۱۴ تهیه شد و ضریب کاپای نقشه حاصل از مدل‌سازی و نقشه کاربری مبنای (سال ۲۰۱۴)، ۸۲٪ به دست آمد. نتایج نشان داد که در فاصله زمانی بین سال‌های ۲۰۱۴-۱۹۸۶، وسعت اراضی جنگلی به میزان ۱۰/۲۶ درصد کاهش و ۳/۲۷ درصد مساحت مناطق مسکونی افزایش یافته است. نقشه کاربری اراضی برای سال‌های ۲۰۲۱ و ۲۰۲۸ با مدل زنجیره مارکوف پیش‌بینی گردید. نتایج نشان داد که در فاصله زمانی ۲۰۱۴-۲۰۲۸، اراضی جنگلی و مراتع به ترتیب به میزان ۱/۹۲ و ۴/۹۲ درصد کاهش دارد. کاربری مسکونی ۸/۰۴ درصد افزایش و اراضی کشاورزی به مقدار ناچیزی تغییر خواهد داشت که بیانگر تغییرات کاربری به سمت اراضی مسکونی است.

واژه‌های کلیدی:

تغییرات کاربری اراضی
پایش تغییرات
مدل مارکوف
تصاویر ماهواره‌ای
حوزه آبخیز صفارود

* پست الکترونیکی مسئول مکاتبات: N.salehi88@ymail.com

مقدمه

در استان ایلام را در سال‌های (۱۹۹۸، ۲۰۰۱ و ۲۰۱۳) با استفاده از طبقه‌بندی شبکه عصبی کوهون و مدل پیش‌بینی مارکوف را بررسی کردند. همچنین به با مدل تغییر کاربری اراضی تغییرات کاربری اراضی برای سال ۲۰۳۰ را پیش‌بینی نمودند. نتایج این تحقیق نشان داد که وسعت پوشش جنگل کم تراکم و مراتع متوسط کاهش و سایر کاربری‌ها افزایش داشته است. سادات ابراهیمی و کمالی (۲) از تصاویر ماهواره لندست سال‌های ۱۹۹۲، ۲۰۰۰ و ۲۰۱۵ و مدل زنجیره سلول خودکار- مارکوف، برای پیش‌بینی تغییرات کاربری اراضی سال‌های ۲۰۲۰، ۲۰۲۵، ۲۰۳۰ و ۲۰۳۵ استفاده کردند. نتایج به دست آمده از پیش‌بینی تغییرات کاربری آینده در منطقه موردمطالعه، بیانگر کاهش کاربری باغ و زراعت آبی و افزایش کاربری‌های مرتع و چراگاه و بستر رودخانه نسبت به سال ۲۰۱۵ بود. عزیزی قلاتی و همکاران (۴) به مدل‌سازی و پیش‌بینی تغییرات کاربری اراضی در دوره ۲۵ ساله (۱۳۹۱- ۱۳۶۶) با مدل زنجیره مارکوف-CA در منطقه کوهمره سرخی استان فارس پرداختند و تغییرات کاربری اراضی را برای سال ۱۴۰۳ پیش‌بینی نمودند. نتایج بررسی آن‌ها نشان داد، بیشترین تغییرات در تبدیل ناحیه جنگل به کاربری‌های کشاورزی آبی و مرتع می‌باشد. شمسی‌پور و همکاران (۳) به پیش‌بینی روند گسترش شهر کرمانشاه با ترکیب مدل سلول خودکار، زنجیره- ای مارکوف و رگرسیون لجستیک پرداختند و با استفاده از تصاویر ماهواره لندست سال‌های ۱۹۸۵، ۲۰۰۰ و ۲۰۱۳ تهیه و آشکارسازی تغییرات را موردنبررسی قراردادند و با مدل زنجیره مارکوف برآورد احتمال میزان تغییرات را برای سال ۲۰۲۶ پیش‌بینی نمودند. نتایج این مطالعه نشان داد که مناطق کوهستانی، پوشش گیاهی، صخره‌ای و سطوح آبی به کاربری شهری تبدیل شده است. ممبئی و عسگری (۸) با بررسی تغییرات پوشش اراضی ۲۶ سال گذشته و به پیش‌بینی روند تغییرات با استفاده از مدل زنجیره مارکوف در منطقه شوستر پرداختند. در این تحقیق، از تصاویر سنجنده‌های TM لندست ۵، OLI و ۲۰۰۰ لندست ۸ به ترتیب برای سال‌های ۱۹۸۹، ۲۰۰۰ و ۲۰۱۵ و همچنین نقشه‌های توپوگرافی و پوشش منطقه استفاده

کاربری اراضی همواره یکی از مهم‌ترین عواملی بوده که انسان از طریق آن محیط‌زیست خود را تحت تأثیر قرار داده است. از نظر تاریخی مهم‌ترین تغییر کاربری اراضی که انسان انجام داده است، از میان بردن جنگل‌ها و تبدیل آن‌ها به اراضی کشاورزی و سکونتگاه‌ها بوده است (۲۲). سنجش‌از دور فناوری کلیدی جهت ارزیابی وسعت و میزان تغییرات پوشش اراضی است (۲۰)، از طریق این فن می‌توان با استفاده از مجموع تصاویر چند زمانه و پردازش آن‌ها با یکی از روش‌های مناسب موجود و با سرعت و دقت بالا نسبت به آشکارسازی تغییرات موردنظر در منطقه اقدام کرد. با استفاده از داده‌های سنجش‌از دور می‌توان به شیوه‌ای علمی و کارآمد به مدیریت مناطق حساس پرداخت (۵ و ۱۵). پیش‌بینی و مدل‌سازی تغییرات آینده نیز برای آگاهی از کمیت و کیفیت تغییرات احتمالی آینده اهمیت دارد؛ بنابراین آشکارسازی و پیش‌بینی تغییرات، لازمه مراقبت از یک اکوسیستم بهویژه در مناطقی با تغییرات سریع و اغلب بدون برنامه‌ریزی در کشورهای در حال توسعه است (۳۰ و ۳۱). پیش‌بینی مکانی کاربری اراضی را می‌توان به وسیله مدل‌های تجربی بر اساس بروندیابی الگوهای تغییری که در گذشته نزدیک مشاهده شده‌اند، با ارائه محدود از عوامل مؤثر بر این تغییرات صورت داد (۱۹ و ۲۹). گوان و همکاران (۱۶) سلول اتوماتا (Cellular Automata) و زنجیره مارکوف را جهت مدل‌سازی تغییرات کاربری اراضی باهدف بررسی توازن رشد شهری و حفاظت از محیط‌زیست تا سال ۲۰۴۹ به کار گرفتند. نتایج این پژوهش، افزایش اراضی شهری و کاهش اراضی کشاورزی و پوشش جنگلی را در منطقه مطالعاتی نشان داد. وسلاویک و راگان (۳۲) از مدل‌ساز تغییر زمین (Land Change Modeler) برای آشکارسازی تغییرات منطقه اولومک (Olomouc) در جمهوری چک استفاده کردند. نتایج تحقیق آن‌ها نشان داد که ۶٪ از جنگل مخلوط به جنگل پهنه‌برگ تبدیل شده و مساحت مناطق مسکونی نیز ۳/۵٪ افزایش داشته است.. میرعلیزاده فرد و علی بخشی (۱۰) تغییرات کاربری اراضی در دشت برتش شهرستان دهله ران واقع

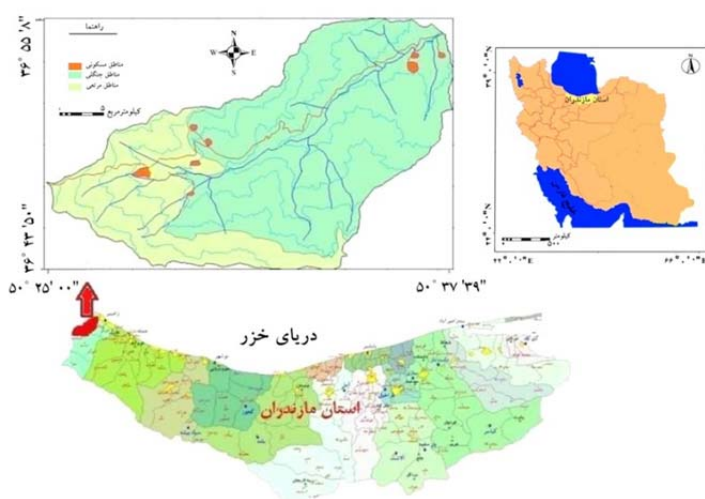
هدف از این مطالعه، بررسی تغییرات کاربری اراضی در یک دوره زمانی ۲۸ ساله (۱۹۸۶-۲۰۱۴) با استفاده از تصاویر ماهواره لندست، و تلفیق مدل سلول خودکار با مدل تصادفی زنجیره مارکف برای مدل‌سازی تغییرات کاربری اراضی و درنهایت پیش‌بینی این تغییرات در آینده است. بهره‌گیری از مدل مارکوف در پیش‌بینی تغییرات و تهیه نقشه پیش‌بینی تغییرات کاربری‌های مختلف از جنبه‌های مهم نوآوری این مطالعه محسوب می‌شود.

مواد و روش‌ها

منطقه مورد مطالعه

حوزه آبخیز صفارود با موقعیت جغرافیایی $50^{\circ} 43' 50''$ تا $50^{\circ} 55' 55''$ عرض شمالی و $36^{\circ} 37' 39''$ طول شرقی در دامنه‌های شمالی البرز در جهت شمال‌شرقی-جنوب‌غربی در جنوب‌غربی شهرستان رامسر واقع شده است (شکل ۱). شب متوسط منطقه $12/7$ درصد و مساحت حوزه آبخیز صفارود، $137/44$ کیلومترمربع است. متوسط بارندگی این حوزه در طول چهل سال گذشته در حدود 1169 میلی‌متر است. بر اساس مطالعات انجام شده، بخش اعظم اراضی منطقه تحت مطالعه دارای پوشش جنگلی با شرایط متراکم تا نیمه متراکم است.

گردید. تصاویر هر سه مقطع زمانی به چهار طبقه کاربری مرتع، اراضی کشاورزی دیم، اراضی مسکونی، و اراضی کشاورزی آبی طبقه‌بندی شدند. نتایج نشان داد به ترتیب $21/12$ و $21/20$ درصد از مساحت کاربری مرتع و اراضی دیم کاسته شده و به مساحت کاربری مسکونی افزوده شده است. کریمی و همکاران (۷) در بررسی روند تغییرات دشت عباس با استفاده از تصاویر لندست برای سال‌های 1368 ، 1382 ، 1392 دریافتند که تغییرات کاربری به سمت کشاورزی بوده است. یوسفی و همکاران (۱۱) با استفاده از تصاویر لندست سال 1379 و 1393 تغییرات کاربری اراضی شهر بجنورد را بررسی نمودند و روند تغییرات کاربری اراضی با استفاده از شبکه خودکار مارکوف تا سال 1407 مدل‌سازی شد. نتایج این تحقیق نشان داد که اراضی کشاورزی آبی و باغات و دیم از $14/5$ درصد در سال 1379 به $6/5$ درصد کاهش و اراضی شهری از $6/7$ درصد در سال 1379 به حدود $11/5$ درصد در سال 1407 افزایش پیدا خواهد کرد. نتایج مطالعات پیشین نشان می‌دهد که طی دهه‌های اخیر در ایران و سایر مناطق دنیا تغییرات کاربری به صورت تبدیل کاربری جنگل و مرتع به سایر کاربری‌ها مانند مناطق مسکونی بوده است (۲۷). طی سال‌های اخیر در استان مازندران نیز تغییرات کاربری زیادی در جنگل‌های خزری و مناطق کشاورزی صورت گرفته است و منطقه صفارود رامسر نیز از این قاعده مستثنی نبوده است.

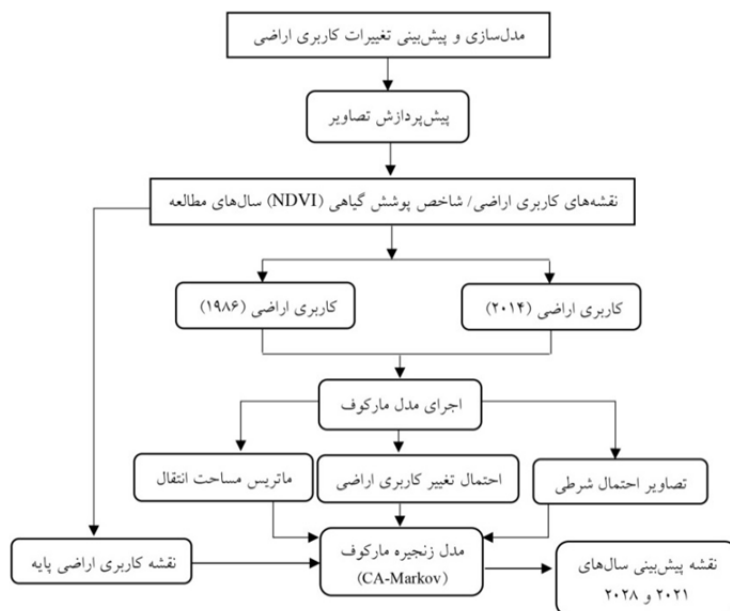


شکل ۱. موقعیت حوزه آبخیز صفارود رامسر

از نرم‌افزارهای IDRISI Selva و ArcGIS[®] 10.3.ENV[®] 4.8 استفاده گردید. برای طبقه‌بندی کاربری‌ها از روش حداقل احتمال و برای محاسبه تغییرات، پیش‌بینی و شبیه‌سازی تغییرات در سال‌های ۲۰۲۱ و ۲۰۲۸ از مدل سلول خودکار-مارکوف استفاده شد. نمودار جریانی مراحل تحقیق در شکل ۲ آورده شده است.

روش تحقیق

در این تحقیق از تصاویر ماهواره‌ای لندست TM (۱۹۸۶)، ETM⁺ (۲۰۰۰) و OLI (۲۰۱۴) و نقشه‌های توپوگرافی ۱:۲۵۰۰۰ رقومی سازمان نقشه‌برداری استفاده شد. مشخصات تصاویر ماهواره‌ای استفاده شده در این تحقیق در جدول ۱ آورده شده است. برای پردازش داده‌ها، مدل‌سازی، شبیه‌سازی



شکل ۲. نمودار مراحل انجام تحقیق

جدول ۱. مشخصات تصاویر ماهواره‌ای مورداستفاده در تحقیق

تاریخ میلادی	تاریخ شمسی	ماهواره	سنجدنه	قدرت تفکیک مکانی
۱۹۸۶	۱۳۶۵	لندست	۴	TM
۲۰۰۰	۱۳۷۹	لندست	۷	ETM
۲۰۱۴	۱۳۹۳	لندست	۸	OLI

پرتوستجی مانند راهراه شدگی، زیر هم قرار نگرفتن خطوط اسکن، پیکسل‌های تکراری، خطاهای اتمسفری مانند وجود لکه‌های ابر موربدبررسی قرار گرفت. به منظور انجام تصحيحات رادیومتریک بر روی تصاویر نیاز است ارزش رقومی (DN) ثبت شده از یک پیکسل معین که در سال‌های مختلف، تحت تأثیر زاویه دید، موقعیت و زاویه خورشید و شرایط اتمسفری قرار می‌گیرد، خطاهای آن رفع گردد (۳۳). برای انجام تصحيح

پیش‌پردازش تصاویر

در مرحله پیش‌پردازش تصحيحات هندسی و رادیومتریک روی تصاویر انجام شد. تصحیح رادیومتریک زمانی انجام می‌گیرد که، از تصاویر چند زمانه یعنی تصاویری که مربوط به فصول یا سال‌های مختلف و یا سنجدنه‌های مختلف هستند، استفاده شود (۱۲). پیش از به کارگیری داده‌های ماهواره‌ای در تجزیه تحلیل رقومی، کیفیت آن‌ها از نظر وجود خطای هندسی،

است که به مثابه نمونه‌های تعلیمی برای هر کلاس هستند، بر روی تصاویر انجام شد (۱۴). برای این مرحله با تفسیر بصری تصویر ترکیب رنگی کاذب و با استفاده از نقشه‌های توپوگرافی با مقیاس ۱:۲۵۰۰۰ سازمان نقشه‌برداری کشور، نمونه‌های تعلیمی برای هر کلاس تعریف شدند، سپس نمونه‌های تعلیمی به شیوه رقومی کردن روی صفحه رایانه رقومی شدند. در مرحله دوم، نمونه‌های تعلیمی تفکیک شدند و مرحله سوم طبقه‌بندی کاربری اراضی با الگوریتم حداقل احتمال در طبقه‌بندی نظارت شده در چهار کلاس کاربری شامل جنگل، مرتع، کشاورزی و مسکونی صورت گرفت (۲۸). در این روش طبقه‌بندی از داده‌هایی مانند میانگین متوسط برآورد و واریانس‌های طبقات استفاده می‌کند که بعداً به منظور احتمال‌های برآورد بکار برده می‌شوند. الگوریتم حداقل احتمال، فرض می‌کند که احتمال‌های برآورد برای همه طبقات برابر هستند و هیستوگرام باندهای ورودی جهت به دست آوردن یک خروجی دقیق، دارای توزیع نرمالی می‌باشند. این روش متوسط، واریانس‌ها و تغییرپذیری در ارزش‌های طیفی هر کلاس را به عنوان مجموعه‌ای از داده‌های زمینی به دست می‌آورد؛ بنابراین، نیازمند داده‌های زمینی دقیق است. مزیت اصلی این روش آمار مبنا بودن آن است که برآورده از همپوشانی نواحی را فراهم می‌کند (۹). درنهایت برای حذف قطعات کوچک و ساده‌سازی تصاویر حاصل از طبقه‌بندی‌ها از فیلتر مد استفاده شد. پس از این فرآیند، طبقه‌بندی‌های به دست آمده در محیط ArcMap® 10.3 رقومی شدند، تا نقشه کاربری اراضی حوزه مورد مطالعه برای سال‌های موردنبررسی به دست آید.

تهیه نقشه پوشش تراکم گیاهی

نقشه تراکم پوشش گیاهی منطقه با اعمال شاخص تفاضل نرمال شده پوشش گیاهی (NDVI) در محیط نرم‌افزار ENVI® 4.8 با دستور NDVI بر روی تصاویر لندست تهیه گردید (رابطه ۳).

رادیومتریک در ابتدا ارزش‌های رقومی به تابش طیفی (Radiance) با استفاده از ضرایب کالیبراسیون سنجنده و رابطه ۱ تبدیل شد (۶).

$$L = Gain \times DN + Offset \quad [1]$$

در این رابطه، L تابش طیفی، DN ارزش رقومی پیکسل (۰ - ۲۵۵) و Gain و Offset ضرایب کالیبراسیون سنجنده است. سپس مقدار تابش طیفی به بازتاب طیفی (Reflectance) از رابطه ۲ محاسبه شد (۲۴ و ۲۶).

$$P = \frac{\pi I d^2}{E SUN \cos SZ} \quad [2]$$

در این رابطه، P بازتاب طیفی بین ۰ تا $\pi/14$ در این رابطه، P بازتاب طیفی در دریچه سنجنده، d² مجذور فاصله زمین و خورشید، ESUN ارتفاع خورشید، SZ زاویه خورشید در هنگام تابش. با تبدیل مقادیر تابش طیفی به بازتاب طیفی آثار مربوط به تغییر شرایط نوردهی، فصل، عرض جغرافیایی، شرایط آب و هوایی روی تصاویر حذف می‌گردد و نتیجه حاصل نسبتاً استاندارد شده است که مستقیماً جهت مقایسه بازتاب پدیده‌ها بین تصاویر مختلف و یک تصویر در زمان‌های متفاوت قابل کاربرد است (۲۵).

طبقه‌بندی تصاویر ماهواره‌ای و تهیه نقشه‌های کاربری اراضی به منظور بررسی تغییرات کاربری اراضی، از تصاویر ماهواره‌ای سال‌های ۱۹۸۶، ۲۰۰۰ و ۲۰۱۴ استفاده شد. از آنجاکه تفکیک و شناسایی پدیده‌ها به لحاظ رنگ نتایج بهتری ارائه می‌دهد ولی نمایش داده‌های حاصل از اسکنرها در تک باندها با استفاده از گام خاکستری است، تصویر رنگی کاذب هر تاریخ با استفاده از ترکیب باندهای ۲۳۴ به ترتیب بارنگ‌های مادون‌قرمز، قرمز و سبز تولید در محیط نرم‌افزار ENVI® 4.8 تولید شد (۱۷). این تصاویر به تجسم انواع کاربری‌ها در منطقه کمک می‌کنند. از روش طبقه‌بندی نظارت شده برای تهیه نقشه‌های پوشش اراضی استفاده شد.

در اولين گام يك طبقه‌بندی نظارت شده، تعریف مناطقی

$$\emptyset_2 = \frac{1}{n^2} \sum_i^n = 1 p_{ix} p_i \quad [6]$$

در این رابطه‌ها؛ n برابر با تعداد کل نمونه‌های آموزشی، p_{ii} عناصر قطر اصلی، p_{ix} جمع ستون‌ها و p_i جمع ردیف‌ها است.

مدل زنجیره مارکوف (CA-Markov)

CA به عنوان روشی با پویایی زمانی - مکانی می‌تواند تغییرات را در فضای دوبعدی شبیه‌سازی کند. این روش به صورت گستردگی در بسیاری از زمینه‌های جغرافیایی، خصوصاً به منظور پیش‌بینی رشد شهر و تغییرات کاربری-سرزمین به کار برده شده است (۲۸). مدل سلول خودکار-مارکوف یک سیستم دینامیک و گستته در مکان و زمان است که بر روی یک شبکه منظم از سلول‌ها عمل می‌کند و همچنین تغییرات پوشش کاربری زمین است و داده‌های سنجش از دور و سیستم اطلاعات جغرافیایی می‌توانند به طور مؤثری مشارکت داده شوند (۲۳). در مدل سلول خودکار-مارکوف، پروسه زنجیره مارکوف تغییرات زمانی را میان کلاس کاربری زمین بر اساس احتمالات تبدیل کنترل می‌کند، در حالی که تغییرات مکانی به وسیله قوانین محلی تعیین CA یا نقشه‌های شایستگی کنترل می‌گردند (۱۴). بنابراین با استفاده از مدل سلول خودکار-مارکوف، وضعیت پیکسل‌ها برای پیش‌بینی تغییرات وضعیت آن‌ها در آینده از قوانین خاصی پیروی می‌کنند. به طور مثال پیکسل C_{ij} (پیکسل قرارگرفته در سطر I و ستون J) در زمان $t+1$ به چهار عامل، وضعیت سلول در زمان t پنجره همسایگی ($St C_{ij}$)، وضعیت همسایگان سلول در زمان $(\Omega t$) t و قوانین تبدیل (وضعیت هر یک از سلول‌ها در گذر زمان بر اساس قوانین تبدیل، به طور خودکار به روز می‌شوند) بستگی دارد. گام‌های به روزرسانی از زمان t_0 مبدأ زمانی تا t_n (زمان پایان عملیات) در اصطلاح تکرار نامیده می‌شود (۱۳). خروجی مدل نیز شامل احتمال تبدیل وضعیت، ماتریس مساحت‌های تبدیل شده (Transition areas matrix) هر طبقه و در پایان تصاویر احتمالات شرطی برای تبدیل کاربری‌های مختلف است (۱۸، ۲۹ و ۳۴). در این تحقیق از تصاویر

$$NDVI = \frac{NIR-RED}{NIR+RED} \quad [3]$$

در این رابطه؛ NDVI شاخص نرمال شده تفاضل پوشش‌گیاهی، RED باند قرمز و NIR باند مادون‌قرمز نزدیک است. شاخص NDVI دارای مقادیر نرمال در بازه ۱-۱+ است که بررسی و نمایش مقادیر را به راحتی میسر می‌سازد. مقادیر مختلف NDVI نمایشگر وضعیت متفاوت پوشش‌گیاهی است به گونه‌ای که NDVI برای گیاهان همیشه مثبت خواهد بود. بعد از تهیه لایه NDVI، پوشش به چهار طبقه فاقد پوشش گیاهی، پوشش ضعیف، پوشش نیمه متراکم و پوشش متراکم طبقه‌بندی شد.

ارزیابی صحت نقشه‌های کاربری اراضی

با اعمال ۳۰ نقطه تعلیمی در هر کلاس کاربری بر روی تصویر گوگل ارث و برداشت میدانی توسط دستگاه موقعیت‌یاب زمینی (GPS) صحت نقشه تهیه شده سال ۲۰۱۴ با واقعیت زمینی، ارزیابی گردید. مقادیر ضربی کاپا بالای ۸۰ درصد، نشان‌دهنده این است که به طورکلی تطابق خوبی بین طبقه‌بندی و انواع طبقات کاربری موجود در زمین وجود دارد (۲۱). به منظور تولید نقشه‌های کاربری اراضی صحیح در سال‌های ۱۹۸۶ و ۲۰۰۰، از ضربی کاپا به دست آمده و تطابق با نقشه‌های موجود از منطقه استفاده گردید.

ارزیابی صحت مدل‌سازی تغییرات کاربری اراضی

برای ارزیابی صحت مدل سلول‌های خودکار-مارکوف در شبیه‌سازی تغییرات کاربری اراضی از شاخص کاپا استفاده شد. ضربی کاپا، صحت طبقه‌بندی را نسبت به یک طبقه‌بندی کاملاً تصادفی محاسبه می‌کند (۱۵). در این پژوهش جهت ارزیابی صحت مدل‌سازی (ضربی کاپا) از گزینه پس پردازش تصاویر ENVI® 4.8 (Post classification) موجود محیط نرم‌افزار با استفاده از رابطه‌های ۴، ۵ و ۶ استفاده گردید.

$$\emptyset_1 = 1/n \sum_i^n = 1 p_{ii} \quad [4]$$

$$k = \frac{\emptyset_1 - \emptyset_2}{1 - \emptyset_2} \quad [5]$$

سطح کاربری مربوط به جنگل‌های فقیر است. در سال ۱۹۸۶ مساحت جنگل‌های متراکم ۹۴/۹۹ کیلومترمربع بوده که در سال ۲۰۰۰ به ۸۲ کیلومترمربع و در سال ۲۰۱۴ به ۷۷/۴ کیلومترمربع کاهش یافته است (۱۲/۷ درصد از وسعت جنگل‌های متراکم طی ۲۸ سال کاسته شده است). در طی دوره مطالعه وسعت اراضی کشاورزی کاهش داشت، که از ۲/۴٪ در سال ۱۹۸۶ به حدود ۱/۱٪ (۱/۵ کیلومترمربع) در سال ۲۰۱۴ رسیده است. در خلال دوره مطالعه سطح اراضی مسکونی افزایش داشته است به طوری که از ۸/۹ کیلومترمربع در سال ۱۹۸۶ (۰/۶/۵٪) به ۱۱/۵ کیلومترمربع (۰/۸/۳٪) و ۱۳/۴ کیلومترمربع (۰/۹/۷٪) افزایش یافت (جدول ۲). نقشه تلفیق پوشش گیاهی با کاربری اراضی حوزه آبخیز صفارود رامسر برای سال‌های ۱۹۸۶، ۲۰۰۰ و ۲۰۱۴ در شکل ۳ آورده شده است. مقایسه نقشه کاربری اراضی در سال‌های موردمطالعه نشان می‌دهد که توسعه مناطق مسکونی در قسمت جنوب‌غربی منطقه و با تغییر کاربری جنگل‌های متراکم به کاربری مسکونی بوده است. پس از تهیه نقشه‌های کاربری اراضی، اقدام به آشکارسازی تغییرات و بررسی تغییرات اتفاق افتاده در طی دوره زمانی موردمطالعه شد. این تغییرات شامل کاهش‌ها و افزایش‌ها و تغییرات خالص برای هر کلاس و انتقال از یک کلاس به کلاس‌های دیگر است.

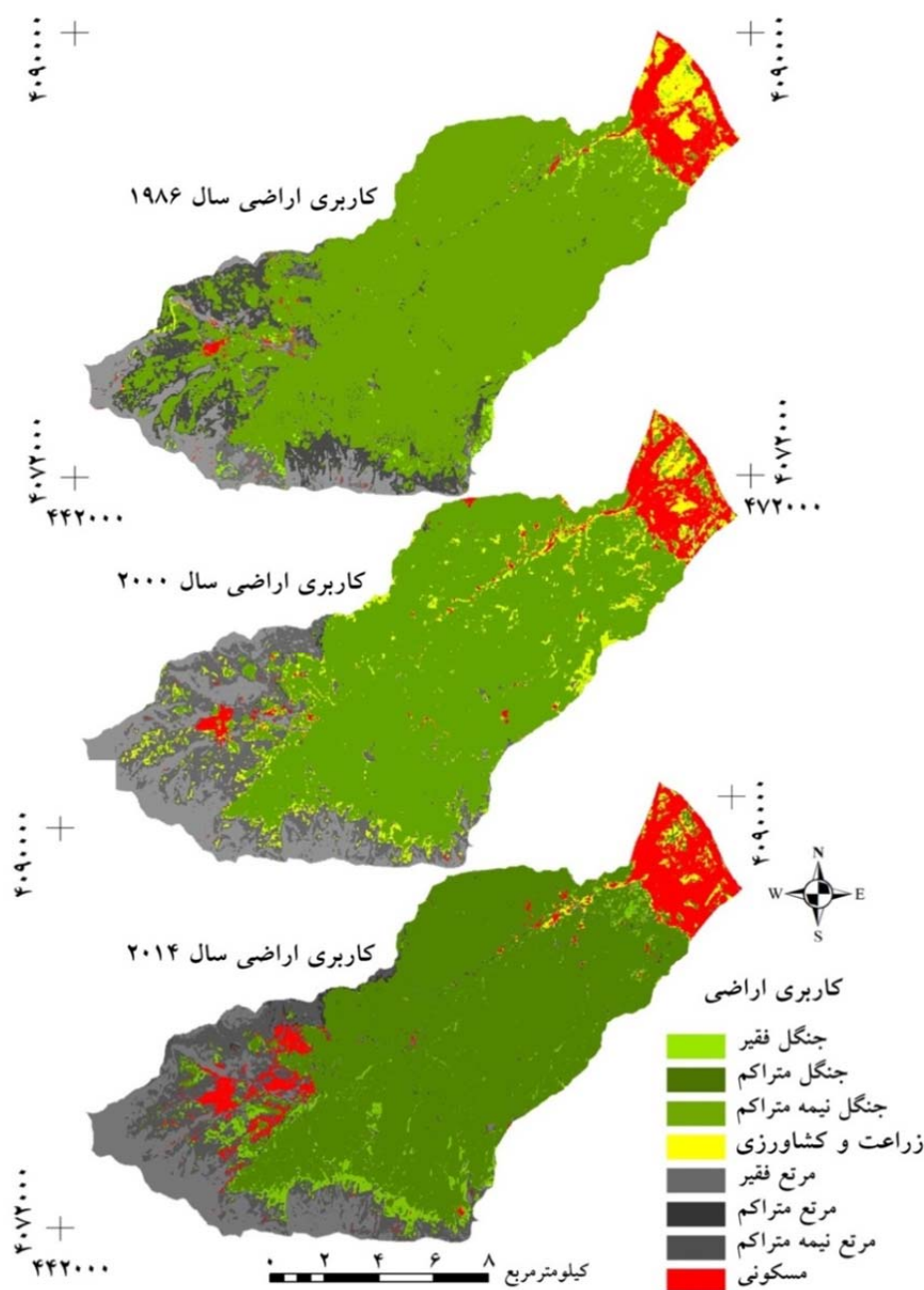
طبقه‌بندی شده سال‌های ۱۹۸۶، ۲۰۰۰ و ۲۰۱۴ به عنوان نقشه‌های پوشش برای تهیه ماتریس تبدیل وضعیت استفاده شد. فاصله زمانی هر دو تصویر ۱۴ سال است، که بازه زمانی ۷ و ۱۴ سال برای پیش‌بینی تغییر کاربری استفاده گردید. ماتریس تبدیل وضعیت با استفاده از نقشه‌های پوشش زمین به دست آمده برای هر دوره، ماتریس تبدیل وضعیت کلاس‌های پوشش زمین بین هر دو دوره زمانی محاسبه شد. از نقشه‌های پوشش سال‌های ۱۹۸۶ و ۲۰۰۰ ماتریس تبدیل وضعیت اول و از نقشه‌های پوشش سال‌های ۲۰۰۰ و ۲۰۱۴ ماتریس تبدیل وضعیت دوم محاسبه گردید. این ماتریس‌ها حاوی اطلاعات درصد تبدیل هر کلاس به سایر کلاس‌ها هستند.

نتایج

پس از استخراج نقشه‌های کاربری اراضی و شاخص پوشش گیاهی از تصاویر لندست، و ادغام این دو نقشه با یکدیگر، روند تغییرات کاربری اراضی برای سه دوره زمانی سال‌های ۱۹۸۶، ۲۰۰۰ و ۲۰۱۴ در حوزه موردمطالعه طی دوره ۲۸ ساله موردنرسی قرار گرفت. نتایج مساحت انواع کاربری اراضی برای سال‌های ۱۹۸۶، ۲۰۰۰ و ۲۰۱۴ در جدول ۲ آورده شده است. همان‌طور که نتایج نشان می‌دهد بیشترین وسعت منطقه تحت پوشش جنگل‌های متراکم است و کمترین

جدول ۲. مساحت و درصد طبقات کاربری اراضی در طول سه دوره مطالعه (۱۹۸۶-۲۰۰۰-۲۰۱۴)

سال	کاربری اراضی	۱۹۸۶			۲۰۰۰			۲۰۱۴		
		مساحت	درصد	مساحت	درصد	مساحت	درصد	مساحت	درصد	مساحت
	جنگل متراکم	۹۴/۹۹	۶۹	۷۷/۴	۵۹/۶	۸۲	۷/۷	۵/۶	۹/۷	۵/۶
	جنگل نیمه متراکم	۳/۹۷	۲/۸	۱۳/۴	۹/۷	۱۳/۴	۰/۰۴	۰/۰۲	۰/۱	۰/۰۲
	جنگل فقیر	۰/۲۹	۰/۲	۰/۱۸	۰/۱	۰/۱۸	۰/۰۴	۰/۰۷	۱	۰/۰۲
	مرتع متراکم	۱۱/۱۳	۸	۱۱/۱۳	۰/۰۴	۱۱/۱۳	۱/۸	۱/۰	۱/۰	۱/۰
	مرتع نیمه متراکم	۴/۶	۳/۴	۴/۶	۱۴/۳	۱۹/۷	۱۴/۳	۱۸/۳	۱۸/۳	۱۳/۳
	مرتع فقیر	۱۰/۶	۷/۷	۱۰/۶	۷/۳	۸/۷	۷/۳	۱۸/۴	۱۸/۴	۱۳/۳۸
	زراعت و کشاورزی	۳/۳	۲/۴	۳/۳	۱/۸	۱/۸	۱/۳	۱/۰	۱/۰	۹/۷
	مسکونی	۸/۹	۷/۵	۸/۹	۸/۳	۱۱/۵	۸/۳	۱۳/۴	۷/۷	۹/۷



شکل ۳. نقشه کاربری اراضی حوزه آبخیز صفارود رامسر (۱۹۸۶-۲۰۰۰-۲۰۱۴)

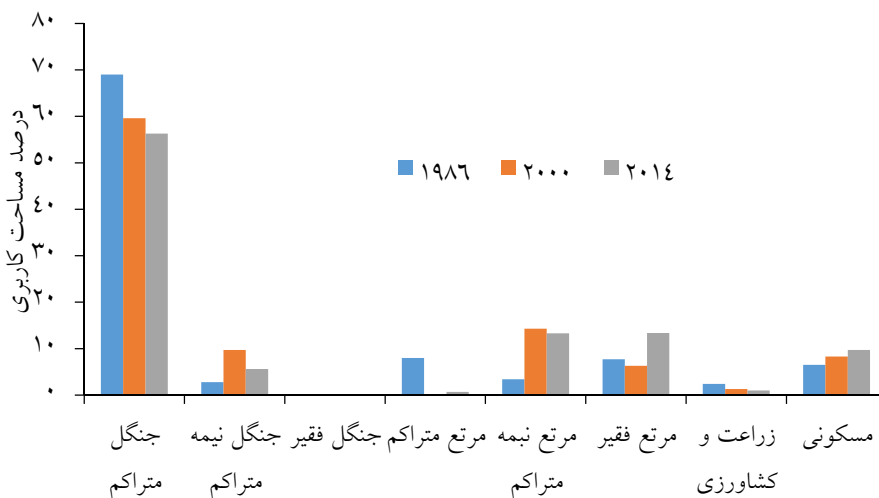
از نقشه پوشش و کاربری اراضی تهیه شده برای هر دوره، درصد مساحت و محیط هر کلاس پوشش زمین محاسبه شد. همچنین درصد هر کلاس نسبت به کل منطقه، برای آگاهی از میزان تغییرات به وقوع پیوسته در دوره های بعدی به دست آمده است. شکل ۴ روند تغییرات درصد مساحت کاربری اراضی در دوره های زمانی ۱۹۸۶ تا ۲۰۱۴ را نشان می دهد و در جدول ۳

آشکارسازی تغییرات

برای درک اینکه طی دوره ۲۸ ساله، تغییرات منطقه چگونه بوده و کدام کلاس ها گسترش و کدام یک کاهش مساحت داشته اند، از نقشه های طبقه بندی شده استفاده شد. با مقایسه این نقشه ها و جدول تقاطعی به دست آمده، نقشه و درصد تغییرات هر کلاس مشخص و محاسبه گردید. با استفاده

درصد اراضی جنگلی است. اراضی مسکونی در سال ۱۹۸۶ برابر $8/9$ کیلومترمربع (معادل $6/5$ درصد کل حوزه)، و در سال ۲۰۱۴ به $13/4$ کیلومترمربع (معادل $9/7$ درصد کل حوزه)، که نشان‌دهنده افزایش $3/2$ درصدی مساحت اراضی مسکونی است.

تغییرات در مقطع زمانی در هر دوره نسبت به سال ۱۹۸۶ آورده شده است. با توجه به شکل ۴ مشاهده می‌گردد، اراضی جنگلی در سال ۱۹۸۶ برابر با $99/25$ کیلومترمربع (معادل 72 درصد کل حوزه) و در سال ۲۰۱۴ به $85/14$ کیلومترمربع (معادل $61/92$ درصد کل حوزه)، که نشان‌دهنده کاهش $10/08$



شکل ۴. روند تغییرات کاربری اراضی در سه دوره زمانی (۱۹۸۶ تا ۲۰۱۴)

رخداده در دوره دوم، مدل مارکوف بر روی نقشه‌های کاربری اراضی سال‌های ۲۰۰۰ و ۲۰۱۴ اجرا شد. سپس با استفاده از مساحت انتقال یافته و تصاویر احتمال شرطی به منظور پیش‌بینی CA-Markov شرطی به دست آمده، مدل تغییرات کاربری اراضی سال ۲۰۲۱ و ۲۰۲۸ اجرا شد. جدول ۳ احتمال تغییر کاربری برای نقشه پیش‌بینی سال ۲۰۲۱ و جدول ۴ احتمال تغییر کاربری برای سال ۲۰۲۸ را نشان می‌دهد. مساحت طبقات کاربری اراضی برای سال‌های ۲۰۲۱ و ۲۰۲۸ در شکل ۵ آورده شده است.

به منظور پیش‌بینی تغییرات کاربری اراضی با استفاده مدل زنجیره‌ای مارکوف (CA-Markov) از جدول مساحت انتقال یافته و تصاویر احتمال شرطی استفاده شد. نقشه کاربری اراضی حاصل از مدل‌سازی را می‌توان با نقشه کاربری اراضی به دست آمده از تصویر لندست سال ۲۰۱۴ به عنوان مرجع، مقایسه کرد. ضریب کاپای حاصل از ماتریس خطای نقشه به دست آمده از مدل‌سازی و نقشه کاربری اراضی به دست آمده از تصویر لندست سال ۲۰۱۴، 82 درصد به دست آمد. برای ایجاد سناریوی پیش‌بینی برای سال‌های ۲۰۲۱ و ۲۰۲۸ از تغییرات

جدول ۳. احتمال تغییر کاربری اراضی برای نقشه پیش‌بینی سال ۲۰۲۱

کاربری	مرتع متراکم	مسکونی	مرتع نیمه متراکم	مرتع فقیر	زراعت و کشاورزی	جنگل نیمه متراکم	جنگل متراکم	مرتع متراکم	کاربری
جنگل متراکم	۰/۹۵۴۴	۰/۰۳۰۲	۰/۰۰۰۴	۰/۰۰۰۷	۰/۰۰۰۰	۰/۰۱۴۲	۰/۰۰۰۱	۰/۰۰۰۱	جنگل متراکم
جنگل نیمه متراکم	۰/۱۹۵۱	۰/۲۵۹۲	۰/۰۰۴۰	۰/۰۱۸۱	۰/۰۳۱۰۴	۰/۲۱۲۸	۰/۰۰۰۴	۰/۰۰۰۴	جنگل نیمه متراکم
زراعت و کشاورزی	۰/۰۳۹۴	۰/۰۲۲۹	۰/۰۹۰۸	۰/۰۰۰۰	۰/۰۰۰۰	۰/۶۴۶۹	۰/۰۰۰۰	۰/۰۰۰۰	زراعت و کشاورزی
مرتع فقیر	۰/۰۰۰۰	۰/۰۰۰۰	۰/۰۸۶۰۳	۰/۰۹۱۲	۰/۰۰۹۱۲	۰/۰۴۷۵	۰/۰۰۱۰	۰/۰۰۱۰	مرتع فقیر
مرتع نیمه متراکم	۰/۰۱۳۷	۰/۰۳۹۵	۰/۰۰۰۰	۰/۱۲۹۰	۰/۰۵۸۳	۰/۱۵۹۴	۰/۰۰۰۱	۰/۰۰۰۱	مرتع نیمه متراکم
مسکونی	۰/۰۱۶۷	۰/۰۰۱۱	۰/۰۱۴۲	۰/۰۱۸۴	۰/۰۰۸۸۳	۰/۸۶۱۲	۰/۰۰۰۲	۰/۰۰۰۲	مسکونی
مرتع متراکم	۰/۰۰۰۱	۰/۰۰۰۰	۰/۰۰۰۰	۰/۰۰۰۱	۰/۰۰۰۰	۰/۰۰۰۰	۰/۹۹۹۷	۰/۰۰۰۰	مرتع متراکم

جدول ۴. احتمال تغییر کاربری اراضی برای نقشه پیش‌بینی سال ۲۰۲۸

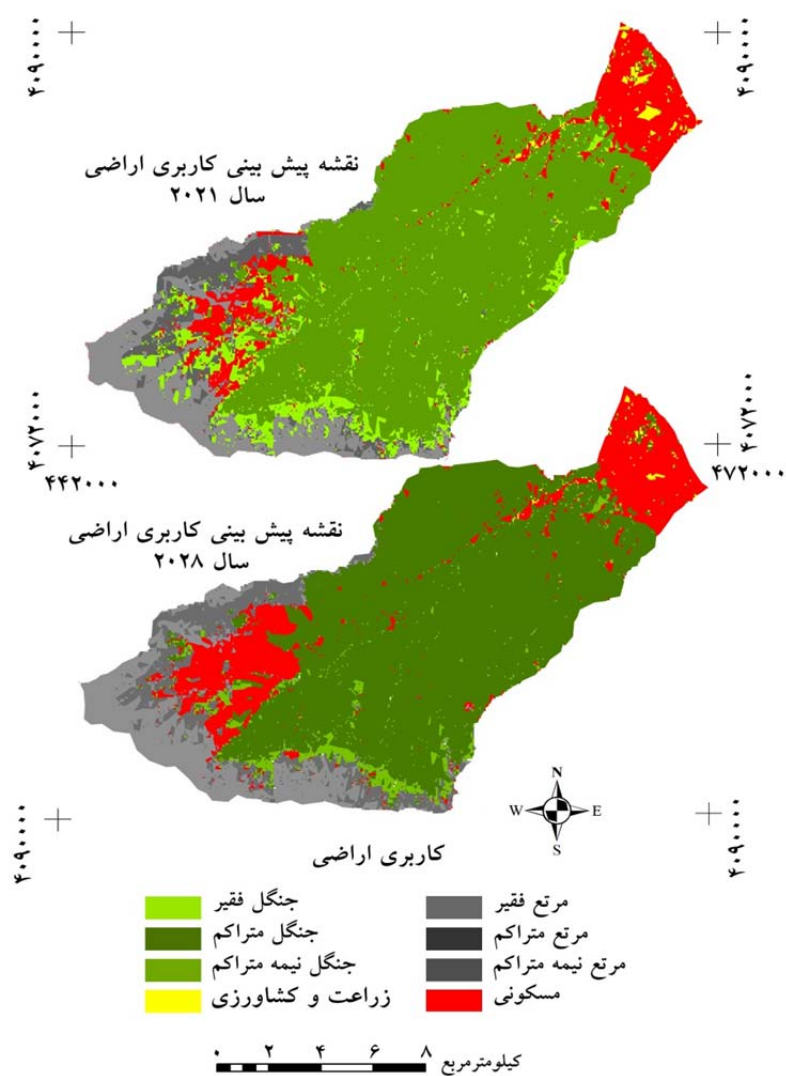
کاربری‌ها	جنگل متراکم	جنگل نیمه متراکم	زراعت و کشاورزی	مرتع فقیر	مرتع نیمه متراکم	مسکونی	مرتع متراکم	جنگل متراکم	کاربری
جنگل متراکم	۰/۹۱۹۲	۰/۰۳۷۵	۰/۰۰۰۹	۰/۰۰۲۶	۰/۰۰۳۲	۰/۰۳۶۳	۰/۰۰۰۳	۰/۰۰۰۳	جنگل متراکم
جنگل نیمه متراکم	۰/۲۲۳۹	۰/۱۶۳۸	۰/۰۰۴۷	۰/۰۵۷۴	۰/۲۸۴۰	۰/۲۶۵۵	۰/۰۰۰۷	۰/۰۰۰۷	جنگل نیمه متراکم
زراعت و کشاورزی	۰/۰۶۴۹	۰/۰۱۹۲	۰/۱۸۰۳	۰/۰۰۲۴	۰/۰۰۰۰	۰/۷۳۳۲	۰/۰۰۰۰	۰/۰۰۰۰	زراعت و کشاورزی
مرتع فقیر	۰/۰۰۲۸	۰/۰۰۲۴	۰/۰۰۰۲	۰/۷۶۶۵	۰/۱۲۹۱	۰/۰۹۷۱	۰/۰۰۱۹	۰/۰۰۱۹	مرتع فقیر
مرتع نیمه متراکم	۰/۰۳۱۰	۰/۰۳۶۹	۰/۰۰۰۴	۰/۱۷۸۶	۰/۵۲۳۷	۰/۲۳۱۱	۰/۰۰۰۴	۰/۰۰۰۴	مرتع نیمه متراکم
مسکونی	۰/۰۳۲۳	۰/۰۰۴۸	۰/۰۱۴۵	۰/۰۴۴۷	۰/۱۲۱۱	۰/۷۸۲۱	۰/۰۰۰۵	۰/۰۰۰۵	مسکونی
مرتع متراکم	۰/۰۰۰۲	۰/۰۰۰۰	۰/۰۰۰۰	۰/۰۰۰۳	۰/۰۰۰۰	۰/۰۰۰۱	۰/۹۹۹۴	۰/۰۰۰۱	مرتع متراکم

حوزه) خواهد رسید. مقایسه سال ۲۰۲۸ نسبت به سال ۲۰۱۴ نشان‌دهنده کاهش ۴/۲۹ درصد اراضی جنگلی و افزایش ۸/۰۴ درصد، مساحت مناطق مسکونی است. جدول ۵ مساحت و درصد کاربری اراضی پیش‌بینی شده برای سال‌های ۲۰۲۱ و ۲۰۲۸ را در صورت ادامه روند موجود تغییرات در منطقه را نشان می‌دهد (شکل ۵؛ جدول ۵).

نتایج نقشه پیش‌بینی تغییرات سال ۲۰۲۱ و ۲۰۲۸ نشان می‌دهد که با ادامه روند تغییرات، وسعت اراضی جنگلی در سال ۲۰۲۱ برابر با ۸۴/۰۵ کیلومترمربع (معادل ۶۱/۱ درصد کل حوزه) و در سال ۲۰۲۸ به ۷۸/۳۳ کیلومترمربع (معادل ۵۷/۰ درصد کل حوزه) رسیده و اراضی مسکونی در سال ۲۰۲۱ برابر ۱۹/۱۸ کیلومترمربع (معادل ۱۳/۹۶ درصد کل حوزه)، و در سال ۲۰۲۸ به ۲۴/۳۸ کیلومترمربع (معادل ۱۷/۷۴ درصد کل

جدول ۵. مساحت و درصد کاربری اراضی پیش‌بینی شده برای سال‌های ۲۰۲۱ و ۲۰۲۸

کاربری اراضی	سال		درصد مساحت	مساحت (km ²)	درصد مساحت	مساحت (km ²)	درصد مساحت	سال
	۲۰۲۸	۲۰۲۱						
جنگل متراکم	۵۳/۳	۷۳/۲۵	۵۴/۲۰	۷۴/۵۱	۷۳/۷	۵/۰۸	۷/	۹/۵۴
جنگل نیمه متراکم								
جنگل فقیر	۰	۰	۰	۰	۰	۰	۰	۰
مرتع متراکم	۰	۰	۰/۶	۰/۸۲	۰/۰۱	۱۴/۴۷	۹/۶	۱۳/۲۳
مرتع نیمه متراکم	۱۰/۰۱	۱۴/۴۷	۹/۶	۱۳/۲۳	۱۴/۰۵	۱۹/۹۹	۱۴/۰۴	۱۹/۳۰
مرتع فقیر	۱۴/۰۵	۱۹/۹۹	۱۴/۰۴	۱۹/۳۰	۰/۰۲	۰/۲۷	۰/۶	۰/۸۲
زراعت و کشاورزی	۰/۰۲	۰/۲۷	۰/۶	۰/۸۲	۱۷/۷۴	۲۴/۳۸	۱۳/۹۶	۱۹/۱۸
مسکونی	۱۷/۷۴	۲۴/۳۸	۱۳/۹۶	۱۹/۱۸				



شکل ۵. نقشه پیش‌بینی تغییرات با استفاده از مدل زنجیره‌ای مارکوف (CA-Markov)

مبانی نقشه‌های سال‌های ۲۰۰۰ و ۲۰۱۴ نشان داد که احتمال می‌رود در فاصله زمانی ۲۰۱۴-۲۰۰۸، اراضی جنگلی و اراضی مرتعی به ترتیب به میزان ۴/۹۲ و ۱/۷ درصد کاهش و در مقابل اراضی مسکونی به میزان ۸/۰۴ درصد افزایش و اراضی کشاورزی به میزان ناچیزی تغییر یابد. این موضوع نشان‌دهنده این است که در مناطق شمالی به علت افزایش ساخت‌وسازهای بی‌رویه روزبه روز از اراضی جنگلی کاسته و به اراضی مسکونی افزوده می‌گردد، که این موضوع را می‌توان مرتبط با کمبود قوانین گویا در زمینه تغییر کاربری اراضی در کشور دانست. نتایج به دست آمده در این تحقیق اراضی جنگلی روند نزولی داشته است و مناطق جنگلی به میزان ۴/۹۲ درصد تخریب گردید که با نتایج حاصل از پژوهش‌های عزیزی قلاتی و همکاران (۴) در حوزه کوهمره سرخی استان فارس که بیشترین تغییر کاربری در ناحیه جنگل بوده هم راست است. همچنین روند افزایش مناطق مسکونی به میزان ۸/۰۴ درصد نسبت به گذشته که این امر نشان‌دهنده تخریب مناطق مرتعی و جنگلی و تبدیل به کاربری مسکونی است. نتایج این تحقیق با نتایج تحقیقات یوسفی و همکاران (۱۱) مطابقت دارد. آن‌ها نیز تغییر کاربری را برای ۱۴ سال آینده پیش‌بینی کردند که نتایج حاکی از آن است که اراضی کشاورزی و آبی و دیم روند کاهشی و اراضی شهری و بایر روند افزایشی خواهند داشت. ممبنی و همکاران (۸) نیز در تحقیقی در حوزه شوستر خوزستان، از میزان اراضی مرتع و دیم به ترتیب ۲۱/۱۲ و ٪۲۱ درصد مساحت تشکیل‌دهنده هر کاربری کاسته و بر مناطق مسکونی افزوده شده است، که با نتایج این تحقیق مطابقت دارد. اصلاح و همکاران (۱) در برآورد تغییرات کاربری اراضی از داده‌های لندست، مدل مارکوف استفاده کردند. آن‌ها بیان داشتند که پیش‌بینی تغییرات کاربری با مدل مارکوف قابل قبول است، که با نتایج این تحقیق مطابقت دارد.

بهره‌گیری از مدل مارکوف در پیش‌بینی تغییرات و تهیه نقشه پیش‌بینی تغییرات کاربری‌های مختلف از جنبه‌های مهم نوآوری این مطالعه محسوب می‌شود. نقشه‌های شبیه‌سازی شده در این بررسی می‌تواند راهنمای مناسبی برای مدیران و

بحث و نتیجه‌گیری

تغییر کاربری اراضی به عنوان عاملی پایه در تغییرات زیست‌محیطی عمل کرده و به یک خطر جهانی تبدیل شده است. بازبینی این تغییرات از طریق تصاویر ماهواره‌ای و پیش‌بینی و ارزیابی پتانسیل آن‌ها از طریق مدل‌سازی می‌تواند به برنامه‌ریزان منابع طبیعی برای تصمیمات آگاهانه‌تر کمک کند. داشتن آمار و اطلاعات بهنگام از کاربری‌ها موجود، لازمه‌ی مدیریت صحیح عرصه‌های طبیعی است. یکی از مبانی مدیریت منابع طبیعی، اطلاعات مربوط به تغییرات کاربری اراضی است (۱۸). یکی از مهم‌ترین عوامل تأثیرگذار در سیل‌های استان مازندران، تغییرات کاربری اراضی و پوشش اراضی است. از این‌رو، تهیه نقشه‌های مدل‌سازی تغییرات کاربری اراضی برای مشخص کردن این مسئله که کجا، چگونه و چه زمانی تغییرات رخداده اشتباہ و ناقص است، از نظر کمک به فرآیند برنامه‌ریزی و تصمیم‌گیری مدیران حائز اهمیت است. لذا در تحقیق حاضر، تغییرات کاربری اراضی حوزه آبخیز صفارود رامسر در سه بازه زمانی ۱۹۸۶، ۲۰۰۰ و ۲۰۱۴ با استفاده از تصاویر لندست ارزیابی شد و با استفاده از مدل زنجیره مارکوف، تغییرات کاربری اراضی برای سال ۲۰۲۱ و ۲۰۲۸ پیش‌بینی گردید. با توجه به نتایج آشکارسازی، در دوره مطالعاتی ۲۸ ساله، نتایج نشان داد در فاصله زمانی ۲۰۱۴-۱۹۸۶، اراضی جنگلی، مراعع متراکم، اراضی کشاورزی به ترتیب به میزان ۱۰/۲۶، ۷/۳ و ۱/۴ درصد کاهش و در مقابل اراضی مرتعی فقیر و اراضی مسکونی به ترتیب ۵/۶۸ و ۳/۲۷ افزایش داشته‌اند. این نتایج نشان می‌دهد، بیشترین تخریب در اراضی جنگلی صورت گرفته است. ادامه این روند می‌تواند به تشدید آسیب‌های زیست‌محیطی و کاهش هر چه بیشتر سطح اراضی جنگلی در منطقه منجر شود.

نتایج این پیش‌بینی می‌تواند هشداری برای وضعیت کاربری‌ها در آینده باشد. اصلی‌ترین قابلیت مدل مارکوف توانایی آن‌ها در پیش‌بینی آینده بر اساس وضعیت تغییرات در گذشته است. نتایج حاصل از ماتریس پیش‌بینی تغییرات بر

۸ ممبنی، م. وح. ر. عسگری. ۱۳۹۷. پایش، بررسی و پیش‌بینی روند تغییرات مکانی کاربری اراضی / پوشش زمین با استفاده از مدل زنجیره‌ای مارکوف (مطالعه موردی: شوشتار- خوزستان). فصلنامه اطلاعات جغرافیایی (سپهر)، ۱۰۵(۲۷): ۴۷-۳۵.

۹. میرزابی زاده، و.، م. نیک نژاد و ج. اولادی قادیکلابی. ۱۳۹۴. ارزیابی الگوریتم‌های طبقه‌بندی نظارت شده غیرپارامتریک در تهیه نقشه پوشش زمین با استفاده از تصاویر لندست. ۸ نشریه سنچش از دور و سامانه اطلاعات جغرافیایی در منابع طبیعی، ۶(۳): ۴۴-۲۹.

۱۰. میرعلیزاده فرد، س. ر. و س. م. علی بخشی. ۱۳۹۵. پایش و پیش‌بینی روند تغییرات کاربری اراضی با استفاده از مدل زنجیره مارکوف و مدل‌ساز تغییر کاربری اراضی (مطالعه موردی: دشت برتش دهلهان، ایلام). نشریه سنچش از دور و سامانه اطلاعات جغرافیایی در منابع طبیعی، ۷(۲): ۴۵-۳۳.

۱۱. یوسفی، م.، ج. مکانیکی، ع. اشرفی و ن. نیسانی سامانی. ۱۳۹۶. آشکارسازی و مدل سازی تغییرات کاربری اراضی با استفاده از داده‌های سنچش از دور، مدل زنجیره مارکوف و سلول‌های خودکار (مطالعه موردی: شهر بجنورد). مجله آمایش جغرافیایی فضای ابری، ۷(۲۶): ۱۶-۱.

12. Du Y, Teillet PM, Cihlar J. 2002. Radiometric normalization of multitemporal high-resolution satellite images with quality control for land cover change detection. *Remote sensing of Environment*, 82(1): 123-134.

13. Eastman JR, McKendry JE, Fulk MA. 1994. Change and time series analysis. Unitar. United Nations Institute for Training and Research, 325 pp.

14. Eastman JR. 2006. IDRISI Andes guide to GIS and image processing. Clark University, Worcester, 328 pp.

15. Gross J, Nemani R, Turner W, Melton F. 2006. Remote sensing for the national parks. Park Science, 24(1): 30-36.

16. Guan D, Gao W, Watari K, Fukahori H. 2008. Land use change of Kitakyushu based on landscape ecology and Markov model. *Journal of Geographical Sciences*, 18(4): 455-468.

17. Khoi DD, Murayama Y. 2010. Forecasting areas vulnerable to forest conversion in the Tam Dao National Park Region, Vietnam. *Remote sensing*, 2(5): 1249-1272.

18. Kohonen T. 2012. Self-organization and associative memory. Springer Science & Business

برنامه‌ریزان در بخش منابع طبیعی باشد. علاوه بر این، نقشه‌های کاربری شبیه‌سازی شده می‌توانند، به عنوان سامانه هشداردهنده پیامدها و تأثیر آینده تغییر کاربری مورد استفاده قرار گیرد.

منابع مورد استفاده

۱. اصلاح، م.، س. ع. المدرسی، م. مفیدی فروش. ملک‌زاده بافقی. ۱۳۹۳. بررسی کارایی مدل زنجیره‌ای مارکوف در برآورد تغییرات کاربری اراضی و پوشش زمین با استفاده از تصاویر ماهواره‌ای لندست. نخستین همایش ملی کاربرد مدل‌های پیشرفته تحلیل فضایی (سنچش از دور GIS) در آمایش سرزمین، ۵ و ۶ اسفندماه، یزد، دانشگاه آزاد اسلامی واحد یزد و شهرداری یزد، ۱۰ صفحه.
۲. سادات ابراهیمی، ف. و ا. کمالی. ۱۳۹۶. پیش‌بینی تغییرات احتمالی کاربری اراضی دشت جوپار با استفاده از تصاویر ماهواره‌ای CA-Markov. نشریه پژوهش‌های حفاظت آب و خاک، ۲۴(۴): ۲۵۹-۲۷۱.
۳. شمسی پور، ع.، س. حیدری و ک. باقری. ۱۳۹۶. پایش روند تغییرات پوشش زمین در شهر کرمانشاه با مدل CA پژوهش‌های جغرافیای برنامه‌ریزی شهری، ۵(۳): ۴۹۵-۵۱۴.
۴. عزیزی قلاتی، س.، ک. رنگزمن، ج. سدیدی، پ. حیدریان و ا. تقی‌زاده. ۱۳۹۵. پیش‌بینی روند تغییرات مکانی کاربری اراضی با استفاده از مدل زنجیره مارکوف-CA (مطالعه موردی: منطقه کوهمره سرخی استان فارس). نشریه سنچش از دور و سامانه اطلاعات جغرافیایی در منابع طبیعی، ۷(۱): ۵۹-۷۱.
۵. علوی‌پناه، س. ک. کاربرد سنچش از دور در علوم زمین (علوم خاک). چاپ اول، دانشگاه تهران، ۴۹۶ صفحه.
۶. فرزادمهر، ج.، ح. ارزانی، ع. ا. درویش صفت و م. جعفری. ۱۳۸۳. بررسی قابلیت داده‌های ماهواره لندست ۷ در برآورد تاج پوشش و تولید گیاهی (مطالعه موردی: منطقه نیمه استپی حنا - سمیرم). مجله منابع طبیعی ایران، ۵۷(۲): ۳۳۹-۳۵۲.
۷. کریمی، ک.، غ. ر. زهتابیان، م. فرامرزی و ح. خسروی. ۱۳۹۵. پایش و تغییرات کاربری اراضی با استفاده از زنجیره‌های مارکوف به منظور پیش‌بینی آن (بررسی موردی: دشت عباس). مجله مرتع و آبخیزداری، ۶۹(۳): ۷۱۱-۷۲۴.

- Media, 3 illustrated, 312 pp.
- 19. Lambin EF. 1997. Modelling and monitoring land-cover change processes in tropical regions. *Progress in Physical Geography*, 21(3): 375-393.
 - 20. Lambin EF, Geist HJ. 2008. Land-use and land-cover change: local processes and global impacts. Springer Science & Business Media, 222 pp.
 - 21. Landis JR, Koch GG. 1977. The measurement of observer agreement for categorical data. *Biometrics*: 159-174.
 - 22. Lausch A, Herzog F. 2002. Applicability of landscape metrics for the monitoring of landscape change: issues of scale, resolution and interpretability. *Ecological Indicators*, 2(1-2): 3-15.
 - 23. Li H, Reynolds J. 1997. Modeling effects of spatial pattern, drought, and grazing on rates of rangeland degradation: A combined Markov and cellular automaton approach. New York: Lewis Publishers, 211-230.
 - 24. Lillesand T, Kiefer RW, Chipman J. 2014. Remote sensing and image interpretation. John Wiley & Sons, 704 pp.
 - 25. Mitsova D, Shuster W, Wang X. 2011. A cellular automata model of land cover change to integrate urban growth with open space conservation. *Landscape and Urban Planning*, 99(2): 141-153.
 - 26. Richards JA, Richards J. 2013. Remote sensing digital image analysis, vol 3. Springer, doi: 10.1007/978-3-642-30062-2.
 - 27. Schulz JJ, Cayuela L, Echeverria C, Salas J, Benayas JMR. 2010. Monitoring land cover change of the dryland forest landscape of Central Chile (1975–2008). *Applied Geography*, 30(3): 436-447.
 - 28. Stevens D, Dragicevic S, Rothley K. 2007. iCity: A GIS-CA modelling tool for urban planning and decision making. *Environmental Modelling & Software*, 22(6): 761-773.
 - 29. Stephenne N, Lambin E. 2001. A dynamic simulation model of land-use changes in Sudano-sahelian countries of Africa (SALU). *Agriculture, Ecosystems & Environment*, 85(1-3): 145-161.
 - 30. Suriya S, Mudgal B. 2012. Impact of urbanization on flooding: The Thirusoolam sub watershed—A case study. *Journal of Hydrology*, 412: 210-219.
 - 31. Tang J, Wang L, Yao Z. 2008. Analyses of urban landscape dynamics using multi-temporal satellite images: A comparison of two petroleum-oriented cities. *Landscape and Urban Planning*, 87(4): 269-278.
 - 32. Václavík T, Rogan J. 2009. Identifying trends in land use/land cover changes in the context of post-socialist transformation in central Europe: a case study of the greater Olomouc region, Czech Republic. *GIScience & Remote Sensing*, 46(1): 54-76.
 - 33. Wang Y, Mitchell BR, Nugranad-Marzilli J, Bonynge G, Zhou Y, Shriner G. 2009. Remote sensing of land-cover change and landscape context of the National Parks: A case study of the Northeast Temperate Network. *Remote Sensing of Environment*, 113(7): 1453-1461.
 - 34. Weng Q. 2002. Land use change analysis in the Zhujiang Delta of China using satellite remote sensing, GIS and stochastic modelling. *Journal of Environmental Management*, 64(3): 273-284.



RS & GIS for Natural Resources (Vol. 10/ Issue 1) Spring 2019

Indexed by ISC, SID, Magiran, Noormags, Civilica, Google Scholar

<http://girs.iaubushehr.ac.ir>



Predicting locational trend of land use changes using CA-Markov model (Case study: Safarod Ramsar watershed)

N. Salehi^{1*}, M. R. Ekhtesasi¹, A. Talebi^{1,2*}

1. MSc. Graduated of Watershed Management, Faculty of Natural Resources and Desert Studies, Yazd University

2. Prof. Department of Rangeland and Watershed Management, Faculty of Natural Resources and Desert Studies, Yazd University

ARTICLE INFO

Article history:

Received 15 July 2018

Accepted 2 April 2019

Available online 20 May 2019

Keywords:

Land use change

Change detection

Markov model

Satellite images

Safarood Watershed

ABSTRACT

Predicting land use changes using satellite imagery is now a useful tool for helping planners in complex situations. The purpose of this study was to detect and predict land use changes during the 28-year period (1986-2014) by CA-Markov model in the Safarood-Ramsar watershed of Mazandaran province. In this research, land use and NDVI maps were prepared using Landsat TM (1986), ETM⁺ (2000) and OLI (2014) satellite images. The accuracy of the CA-Markov model was estimated using the Kappa index of 87%. In order to calibrate the CA-Markov model, the land use map was prepared in 2014, and the Kappa coefficient of the mapping from modeling and user base map (2014) was 82%. The results showed that during the period between 1986 and 2014, the area of forest lands decreased by 10.26% and the total area of residential areas increased by 3.27%. The land use map for the years 2021 and 2028 was predicted by the CA-Markov model. The results showed that during the period 2014-2028, forested lands and rangelands decreased by 4.92% and 1.7%, respectively. Residential areas will increase by 8.04% and the agricultural land will change slightly, indicating the changes in land use to residential land.

* Corresponding author e-mail address: N.salehi88@ymail.com